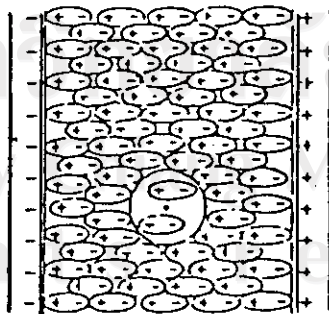


## บทที่ 2 ทฤษฎี

### 2.1 ไดอิเล็กตริก (Dielectrics)

สารไดอิเล็กตริก เป็นสารที่เป็นฉนวนไฟฟ้า ภายในสารจึงไม่มีประจุไฟฟ้าอิสระ (Free electron) หรือมีประจุที่มีค่าน้อยมาก เมื่อมีสนามไฟฟ้าผ่านเข้าไปในสารไดอิเล็กตริก จะเกิดแรงทางไฟฟ้าเนื่องจากสนามไฟฟ้า กระทำที่นิวเคลียส และอิเล็กตรอนของอะตอมสารไดอิเล็กตริก โดยนิวเคลียสมีแนวโน้มเคลื่อนที่ไปตามสนามไฟฟ้า ส่วนอิเล็กตรอนจะเคลื่อนที่สวนทางกับสนามไฟฟ้า ทำให้ประจุไฟฟ้าบวก-ลบ ในอะตอมย้ายห่างออกจากตำแหน่งสมดุลในทิศตรงกันข้ามกัน<sup>(1)</sup>

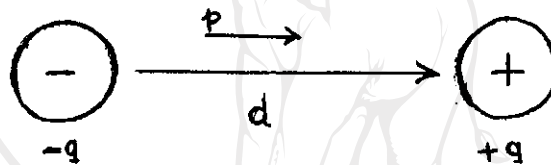
เมื่อพิจารณาอะตอมสารทั้งหมดของสารไดอิเล็กตริก จะเห็นว่า ประจุบวกทั้งหมดย้ายห่างออกจากประจุลบ ปรากฏการณ์นี้เรียกว่าสารไดอิเล็กตริกนั้นถูกโพลาไรซ์ (Polarized) ดังแสดงตามรูปที่ 2.1



รูปที่ 2.1 แสดงการเกิดโพลาไรซ์ ของสารไดอิเล็กตริก

สารไดอิเล็กตริกที่ถูกโพลาไรซ์ แล้วจะถูกสร้างอำนาจไฟฟ้าทั้งภายในและภายนอกของสารไดอิเล็กตริก ทำให้สนามไฟฟ้าที่ทำให้สารไดอิเล็กตริก ถูกโพลาไรซ์นั้นเปลี่ยนไปจากเดิม

เมื่อวัตถุอยู่ในสนามไฟฟ้า  $E$  ทำให้มีไดโพล โมเมนต์ (Dipole moment) เกิดขึ้นภายในวัตถุนั้น ซึ่งไดโพล โมเมนต์ เกิดจากประจุบวกและประจุลบแยกห่างจากกัน ตามรูปที่ 2.2



รูปที่ 2.2 แสดงไดโพล โมเมนต์ ของประจุไฟฟ้า

ให้  $p$  = ไดโพล โมเมนต์

$$\text{จะได้ } p = qd \quad (2.1)$$

เมื่อ  $d$  = ระยะระหว่างประจุบวก-ลบ

$q$  = ประจุไฟฟ้า

จากกฎของคูลอมบ์ (Coulomb's Law) สามารถหาสนามไดโพล<sup>(2)</sup> ได้เป็น

$$\vec{E}_{(r)} = (1/4\pi\epsilon_0)(3(\vec{p}\cdot\vec{r})\vec{r}-r^2\vec{p})/r^5 \quad (2.2)$$

$\vec{r}$  = เวกเตอร์ (vector) ระหว่างไดโพล กับจุดที่สนาม

ให้  $r \gg d$ ,  $d$  = ขนาดของเส้นผ่าศูนย์กลางของอะตอม ซึ่งมีค่าน้อยมาก

เมื่อไดโพล วางอยู่ในสนามภายนอก จะทำให้เกิด torque ( $\tau$ ) บนไดโพลด้วย

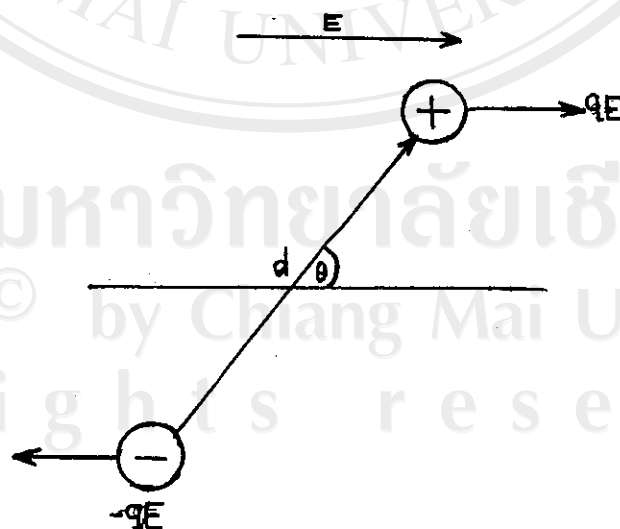
$$\tau = \vec{p} \times \vec{E} \quad (2.3)$$

เมื่อ  $E$  เป็นสนามไฟฟ้าภายนอกจากสมการที่ (2.3)

$$\tau = pE \sin \theta$$

$\theta$  = มุมระหว่างทิศทางของสนามไฟฟ้ากับไดโพล โมเมนต์ ทิศของ  $\tau$  ไปในทิศที่ทำให้ไดโพล เรียงตัวไปตามทิศของสนามไฟฟ้า และทำให้เกิดพลังงานศักย์ขึ้น

$$\begin{aligned} V &= -\vec{p} \cdot \vec{E} \\ &= -pE \cos \theta \end{aligned} \quad (2.4)$$



รูปที่ 2.3 แสดง Torque เกิดบนไดโพลเนื่องจากสนามไฟฟ้า (๑๖)

จากสมการที่ (2.4) จะเห็นว่าค่าพลังงานขึ้นอยู่กับมุม  $\theta$  และมุม  $\theta$  มีค่าอยู่ระหว่าง  $0 - \pi$  ซึ่งทำให้ค่าพลังงานมีค่าอยู่ระหว่าง  $-pE$  เมื่อไดโพล เรียงตัวตามสนาม และ  $pE$  ค่าพลังงานส่วนใหญ่จะมีค่าน้อยที่สุด เพราะไดโพลมักจะเรียงตัวไปตามสนาม

## 2.2 โพลาริเซชัน (Polarization)

ค่าโพลาริเซชันถูกกำหนดจากค่าไดโพล โมเมนต์ ต่อหน่วยปริมาตร ถ้าจำนวนโมเลกุลต่อหน่วยปริมาตรเป็น  $N$  และทุกโมเลกุลมีไดโพล โมเมนต์ เป็น  $\bar{p}$  ดังนั้นค่า Polarization ( $P$ ) จะได้เป็น

$$\bar{P} = N\bar{p} \quad (2.5)$$

เมื่อตัวกลางถูกโพลาริเซชัน คุณสมบัติทางแม่เหล็กไฟฟ้าจะเปลี่ยนไป โดยพิจารณาจากความสัมพันธ์

$$\bar{D} = \epsilon_0 \bar{E} + \bar{P} \quad (2.6)$$

เมื่อ  $\bar{D}$  = Electric displacement vector

$\bar{E}$  = สนามไฟฟ้าในตัวกลาง

ค่า  $D$  จะขึ้นอยู่กับสนามไฟฟ้าภายนอกเท่านั้น และ ถ้า  $\bar{E}_0$  = สนามไฟฟ้าภายนอก ดังนั้นสนามไดอิเล็กตริก

$$\bar{D} = \epsilon_0 \bar{E}_0 \quad (2.7)$$

จากสมการที่ (2.6) กับ (2.7) จะได้

$$\bar{E} = \bar{E}_0 - (1/\epsilon_0)\bar{P} \quad (2.8)$$

จะเห็นว่าโพลาริเซชัน มีผลต่อสนามภายในของตัวกลางเท่านั้น และจากสมการที่ (2.8) เขียนใหม่ได้

$$\bar{D} = \epsilon \bar{E} = \epsilon_0 \epsilon_r \bar{E} \quad (2.9)$$

เมื่อ

$$\epsilon_r = \epsilon / \epsilon_0 \quad (2.10)$$

จากสมการที่ (2.10) เป็นตัวแสดงคุณสมบัติของตัวกลางว่าเกิดโพลาไรเซชันขึ้นมาก-น้อยเพียงใด

$\epsilon_r$  = relative permittivity หรือ ค่าคงที่ไดอิเล็กตริก<sup>(๑)</sup> (dielectric constant)

ค่าคงที่ไดอิเล็กตริก ของตัวกลางนั้น อาจหาค่าได้ โดยใช้แผ่นตัวนำคู่ขนานของตัวเก็บประจุ (Capacitor) ต่อเข้ากับความต่างศักย์ ซึ่งจะทำให้แผ่นตัวนำคู่ขนานมีประจุเกิดขึ้น ในขณะที่ยังไม่มีสารไดอิเล็กตริกวางอยู่ระหว่างแผ่นตัวนำคู่ขนานจะมีสนามไฟฟ้า  $E_0$  ซึ่งหาได้โดยวัดค่าความต่างศักย์ ( $V_0$ ) ระหว่างแผ่นคู่ขนานนั้น และจะได้ความสัมพันธ์

$$\bar{E}_0 = V_0 / L \quad (2.11)$$

$L$  = ระยะห่างระหว่างแผ่นตัวนำคู่ขนาน

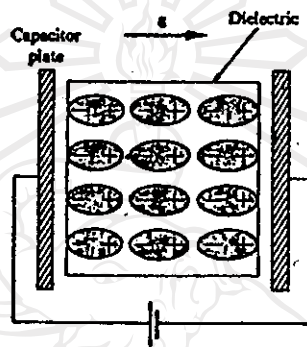
เมื่อนำสารไดอิเล็กตริก สอดเข้าไปอยู่ระหว่างแผ่นตัวนำคู่ขนาน สนามไฟฟ้า  $E_0$  จะเปลี่ยนแปลงไป เนื่องจากเกิดการโพลาไรเซชัน ในตัวกลาง ซึ่งจะมีสนามไฟฟ้าเป็น  $E$  สามารถหาค่าได้โดยวัดความต่างศักย์ใหม่ และจะได้ความสัมพันธ์

$$E = V / L \quad (2.12)$$

ค่าคงที่ไดอิเล็กตริก ( $\epsilon_r$ ) สามารถเขียนในเทอม  $\bar{E}$  และ  $\bar{E}_0$  คือ

$$\epsilon_r = \bar{E}_0 / \bar{E} \quad (2.13)$$

จากสมการที่ (2.12) และ (2.13) จะได้



รูปที่ 2.4 แสดงการทดลองอย่างง่ายสำหรับวัดค่าคงที่ไดอิเล็กตริก

$$\epsilon_r = v_0/v \quad (2.14)$$

นั่นคือค่าคงที่ไดอิเล็กตริก ได้จากการวัดความต่างศักย์ของแผ่นตัวนำคู่ขนาน ในขณะที่ยังไม่ใส่สาร ไดอิเล็กตริก กับขณะใส่สาร ไดอิเล็กตริก ระหว่างแผ่นตัวนำคู่ขนาน แล้วหาอัตราส่วนระหว่างค่าทั้งสอง

จากการเกิดโพลาไรเซชัน ประจุภายในสารเหมือนกับว่าหักล้างกันหมดไป คงเหลือแต่บริเวณผิวของสารไดอิเล็กตริกเท่านั้น ดังแสดงตามรูปที่ 2.5

ถ้าสนามไฟฟ้าภายในสารไดอิเล็กตริก เป็น  $\bar{E}_1$  มีทิศตรงข้ามกับสนามภายนอก และมีโพลาไรเซชัน  $\bar{P}$  เกิดในทิศตรงข้ามกับสนาม  $\bar{E}_1$

สนามไฟฟ้า  $\bar{E}_1$  เรียกว่า depolarization field เพราะว่าสนาม  $\bar{E}_1$  ที่เกิดขึ้นจะทำให้โพลาไรเซชัน ถูกทำลายไปที่ตำแหน่งใด ๆ ภายในสาร จะมีสนามรวมเป็น



รูปที่ 2.5 แสดงสนามไฟฟ้า เกิดจากประจุผิวสารมีกัตตรงข้าม  
กับสนามภายนอก<sup>(11)</sup>

$$\vec{E} = \vec{E}_0 + \vec{E}_1 \quad (2.15)$$

$\vec{E}_1$  มีกัตตรงข้ามกับ  $\vec{E}_0$  และค่า  $\vec{E}_1$  แปรตามโพลาไรเซชัน

$$\frac{\vec{E}_1}{\vec{E}_0} = \frac{\vec{P}}{-M\vec{P}} \quad (2.16)$$

$M$  = ค่าคงที่ ขึ้นอยู่กับลักษณะรูปร่างของสารนั้น เช่น ถ้าแผ่นบาง และสนาม  
ภายนอกตั้งฉากกับแนวระนาบของแผ่น

$$M = 1/\epsilon_0 \quad (2.17)$$

สนามภายนอกจะเหนี่ยวนำให้เกิดโพลาไรเซชันขึ้นใน ellipsoid<sup>(2)</sup> โดยกำหนดว่า dielectric susceptibility ( $X$ ) ขึ้น

$$\bar{P} = \epsilon_0 X \bar{E} \quad (2.18)$$

ถ้าสนามภายนอก  $E_0$  ขนานกับแกนหลักของ ellipsoid ดังนั้น

$$\bar{E} = \bar{E}_0 - M\bar{P} \quad (2.19)$$

จากสมการที่ (2.17)

$$\bar{P} = X (\epsilon_0 \bar{E}_0 - \epsilon_0 M \bar{P})$$

หรือ

$$\bar{P} = [X \epsilon_0 \bar{E}_0 / (1 + \epsilon_0 M X)] \quad (2.20)$$

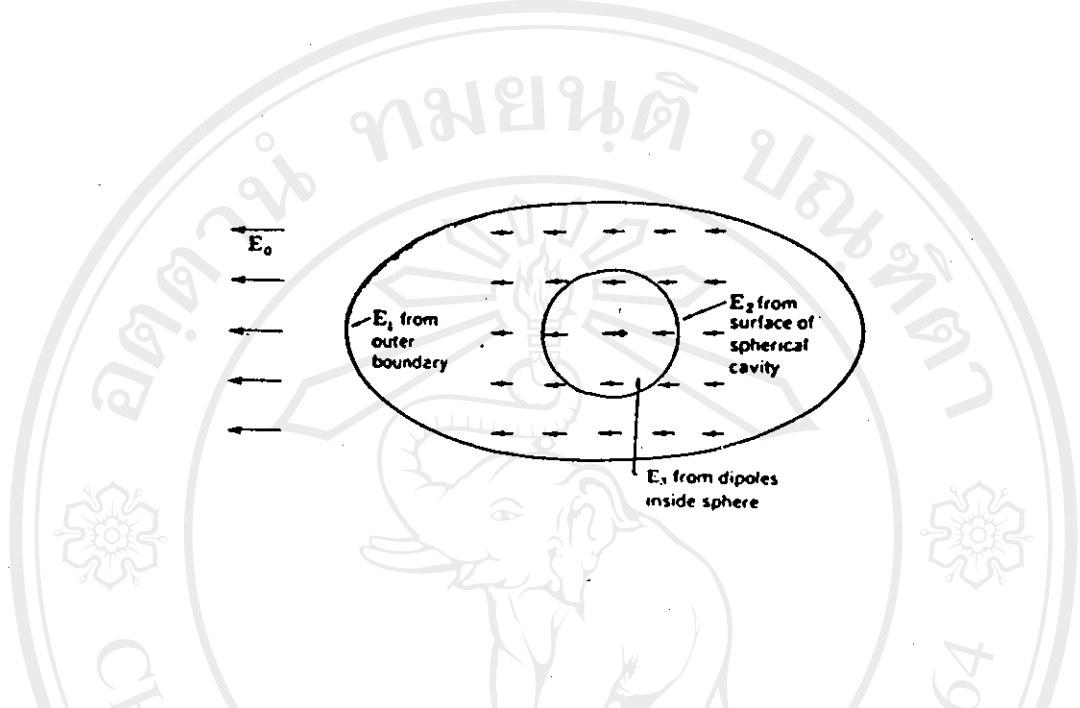
ค่าโพลาไรเซชัน มีค่าขึ้นอยู่กับ depolarization factor  $M$

### 2.3 สนามไฟฟ้าท้องถิ่น (Local electric field)

การโพลาไรซ์ ของสารไดอิเล็กตริก ถ้าพิจารณาโมเลกุลทั้งหมด ประจุไฟฟ้าบวก-ลบ ภายในสาร จะเกิดการหักล้างกันหมดไปเหลือเฉพาะบริเวณผิวของสาร แต่ถ้าพิจารณาที่จุดใดจุดหนึ่งหรือโมเลกุลใดโมเลกุลหนึ่ง บริเวณใกล้เคียง ๆ จุดนั้นจะมีโพลาไรเซชัน และมีสนามไฟฟ้าเนื่องจากประจุบวกและประจุลบเหล่านี้ด้วย ซึ่งเรียกเป็นสนามท้องถิ่น (local field) หรือ  $E_{loc}$

การคำนวณหาสนามไฟฟ้าท้องถิ่น ต้องคำนวณสนามไฟฟ้าทั้งหมดที่กระทำต่อไดโพลโมเมนต์ สนามไฟฟ้าท้องถิ่นเกิดจากสนามไฟฟ้าภายนอก Lorentz<sup>(7)</sup> ได้สร้างทรงกลมล้อมรอบบริเวณที่ต้องการทราบสนามท้องถิ่น แล้วดึงอะตอมภายในทรงกลมนั้นออกไปกลายเป็นช่องว่าง (Cavity) ดังรูปที่ (2.6)





รูปที่ 2.6 แสดงสนามไฟฟ้าภายในที่อะตอมในผลึก ซึ่งเป็นผลรวมของสนามไฟฟ้าภายนอก  $E_0$  กับสนามไฟฟ้าเนื่องจากอะตอมอื่นในผลึก

เมื่อให้สนามไฟฟ้า  $\vec{E}_0$  แก่ผลึก จะเกิดโพลาไรเซชันขึ้นในผลึก ซึ่งจะทำให้เกิดสนามไฟฟ้า  $\vec{E}_1$  ขึ้นเนื่องจากเป็น depolarization field และประจุที่ผิวทรงกลมกลางที่สร้างขึ้นจะทำให้เกิดสนามไฟฟ้า  $\vec{E}_2$  ขึ้นเรียก  $\vec{E}_2$  ว่า Lorentz field และภายในช่องว่างทรงกลมจะทำให้เกิดสนามไฟฟ้า  $\vec{E}_3$  ขึ้น (ในกรณี lattice site ทั่วไป)

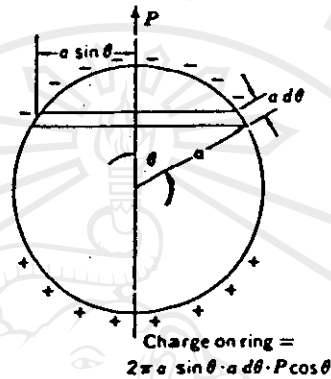
ดังนั้น สนามไฟฟ้าท้องถิ่นที่อะตอมใด ๆ มีค่าดังสมการ

$$\vec{E}_{loc} = \vec{E}_0 + \vec{E}_1 + \vec{E}_2 + \vec{E}_3 \tag{2.21}$$

เนื่องจากผลึกเป็น Cubic symmetry จะได้  $\vec{E}_1$  ซึ่งก็คือ  $\vec{E}_d$  เป็นศูนย์ และจากการคำนวณ  $\vec{E}_2$  ดังรูปที่ 2.7 จะได้

$$\vec{E}_2 = \int_0^{\pi} e^{-\alpha} (2\pi e \sin \theta) (e d \theta) (\bar{P} \cos \theta) (\cos \theta)$$

$$\vec{E}_2 = (4\pi/3) \bar{P} \text{ ในหน่วย cgs}$$



รูปที่ 2.7 แสดงการคำนวณสนามไฟฟ้าเนื่องจากประจุที่ผิวของวงทรงกลม  
ในเนื้อสารที่ Uniformly Polarized<sup>(7)</sup>

หรือ 
$$\bar{E}_2 = (1/3\epsilon_0)P \text{ ในหน่วย SI} \quad (2.22)$$

จากสมการที่ (2.21) จะได้เป็น

$$\bar{E}_{tot} = \bar{E}_0 + \bar{E}_1 + (1/3\epsilon_0)\bar{P} \quad (2.23)$$

เรียกสมการที่ (2.23) นี้ว่า Lorentz relation ซึ่งบางครั้งอาจเขียนในรูป

$$\bar{E}_{tot} = \bar{E}_{(r)} + (1/3\epsilon_0)\bar{P} \quad (2.24)$$

#### 2.4 ความสัมพันธ์ระหว่างค่าคงที่ไดอิเล็กตริกกับอนุกรม

กรณีของการ Polarization catastrophe เป็นการกล่าวถึงสภาวะวิกฤต ทำให้โพลาไรซ์มีค่ามากขึ้น ทั้งนี้เพราะสนามไฟฟ้าท้องถิ่นทำให้โพลาไรซ์เพิ่มขึ้นอย่างรวดเร็ว และมากกว่าแรงระหว่างไอออนในผลึก เป็นผลให้ตำแหน่งของ ionic เคลื่อนไปจากสมดุล ระยะ

ทางที่ ionic เคลื่อนที่ขึ้นอยู่กับแรงกระทำระหว่างไอออนด้วยกัน

การกำหนดทฤษฎี Catastrophe ทำโดยสมมติให้สนามท้องถิ่นที่อะตอมทั้งหมดเป็นตามสมการ

$$\bar{E}_{loc} = \bar{E}_{(r)} + (1/3\epsilon_0)\bar{P} \quad (2.25)$$

ในผลึกไดอิเล็กตริก ทั่วไปเมื่อให้สนามไฟฟ้าจะเกิดโพลาไรเซชันขึ้น โดยค่าคงที่ไดอิเล็กตริก มีความสัมพันธ์กับโพลาไรเซชันกับสนาม ดังสมการ<sup>(2)</sup>

$$\epsilon_r = 1 + (P/\epsilon_0 E) \quad (2.26)$$

ส่วนผลึกเฟอร์โรอิเล็กตริก (ferroelectric crystals) นั้นมี spontaneous polarization ( $P_s$ ) อยู่แล้ว แม้ไม่มีสนามไฟฟ้า แต่เมื่อมีสนามไฟฟ้าเข้าไปเพียงเล็กน้อย จะทำให้เกิดโพลาไรเซชัน  $P$  มากขึ้น การโพลาไรเซชันที่อุณหภูมิวิกฤตมีค่ามาก จะทำให้ค่าคงที่ไดอิเล็กตริก ( $\epsilon_r$ ) มากด้วย ในกรณีสนามไฟฟ้า  $E = 0$  ค่า  $\epsilon_r$  จะเป็นอนันต์ ดังนั้นสถานะการเกิด ferroelectricity อธิบายค่าคงที่ไดอิเล็กตริกด้วย สมการที่ (2.26)

$$\epsilon_r = [1 + (2/3\epsilon_0) \epsilon N_s \alpha] / [1 - (1/3\epsilon_0) \epsilon N_s \alpha] \quad (2.27)$$

นั่นคือ  $\epsilon N_s \alpha$  มีค่าเท่ากับ  $3\epsilon_0$  ค่าคงที่ไดอิเล็กตริก จะเป็นอนันต์ ที่ตำแหน่งอุณหภูมิวิกฤต ในความเป็นจริงค่า  $\epsilon_r$  ไม่ได้เป็นอนันต์เพียงแต่มีค่ามาก หมายความว่าเทอม  $(1/3\epsilon_0) \epsilon N_s \alpha$  ไม่ได้เป็น 1 ดังนั้นจึงได้ความสัมพันธ์ดังนี้คือ

$$(1/3\epsilon_0) \epsilon N_s \alpha = 1 - \delta \quad (2.28)$$

เมื่อ  $\delta$  มีค่าน้อยกว่า 1 มาก ๆ ( $\delta \ll 1$ ) แทนค่าสมการที่ (2.28) ลงในสมการที่ (2.27) จะได้ว่า

$$\epsilon_r = 3/\delta \quad (2.29)$$

ที่อุณหภูมิใกล้เคียงอุณหภูมิวิกฤติ ( $T_c$ ) ค่า  $\chi$  ขึ้นกับอุณหภูมิ ดังสมการ

$$\chi \propto (3/C)(T - T_c) \quad (2.30)$$

แทนค่าสมการที่ (2.30) ลงในสมการที่ (2.29) จะได้

$$\epsilon_r = C/(T - T_c) \quad (2.31)$$

เมื่อ  $C$  เป็นค่าคงที่ และเรียกสมการที่ (2.31) ว่า Curie-Weiss Law

## 2.5 ความสัมพันธ์ระหว่างค่าคงที่ไดอิเล็กตริกกับความถี่

เมื่อสารไดอิเล็กตริกอยู่ในสนามไฟฟ้าแบบ Oscillating field ไดโพลโมเมนต์พยายามหมุนตัวตามทิศของสนามตลอดเวลา และเนื่องจากความเฉื่อยของการไหลไรซ์ จะทำให้เกิด Relaxation ขึ้น

สมการของ Debye สามารถอธิบายกระบวนการ relaxation ได้ ถ้าให้

$$\epsilon_s = \text{Static dielectric constant}$$

$$\epsilon_\infty = \text{Optical dielectric constant}$$

$$\epsilon_s, \epsilon_\infty \text{ เป็นค่า relative permittivity}$$

เมื่อสนามมีความถี่ต่ำหรือสูงกว่าความถี่ธรรมชาติของการไหลไรซ์มาก ๆ จะเกิดการเปลี่ยนแปลงค่าไดอิเล็กตริก ตามความถี่ดังสมการ

$$\epsilon_{(\omega)} = \epsilon_\infty + f_{(\omega)} \quad (2.32)$$

กรณี  $\omega \rightarrow 0$  จะได้ว่า

$$f_{(0)} = \epsilon_s - \epsilon_\infty \quad (2.33)$$

กรณีที่ใส่สนามสม่ำเสมอให้กับสารไดอิเล็กตริกแล้ว เาสนามออกทันที การโพลาไรซ์ จะลดลงแบบ exponential ด้วยค่าคงที่ ถ้าเวลา  $\tau$  เป็นสมบัติเกี่ยวกับ relaxation time ของโมเลกุล จะได้

$$P(t) = P_0 \exp(-t/\tau) \quad (2.34)$$

ถ้า  $f(\omega)$  เป็น spectrum ของความถี่ เนื่องจากฟังก์ชันของเวลา  $P(t)$  จาก Fourier transform

$$\begin{aligned} f(\omega) &= \int_0^{\infty} P(t) e^{i\omega t} dt \\ &= \int_0^{\infty} P_0 \exp(i\omega t - t/\tau) dt \end{aligned}$$

$$f(\omega) = P_0 / (-i\omega + (1/\tau))$$

เมื่อ

$$\omega = 0$$

$$P_0 = E_{\infty} - E_{\infty}$$

และจาก

$$E(\omega) = E_{\infty} + f(\omega)$$

$$\therefore E(\omega) = E_{\infty} + [(E_{\infty} - E_{\infty}) / (1 + i\omega\tau)] \quad (2.35)$$

เมื่อแยกส่วนจริง (real part) และส่วนจินตภาพ (imaginary part) ออกจากกัน

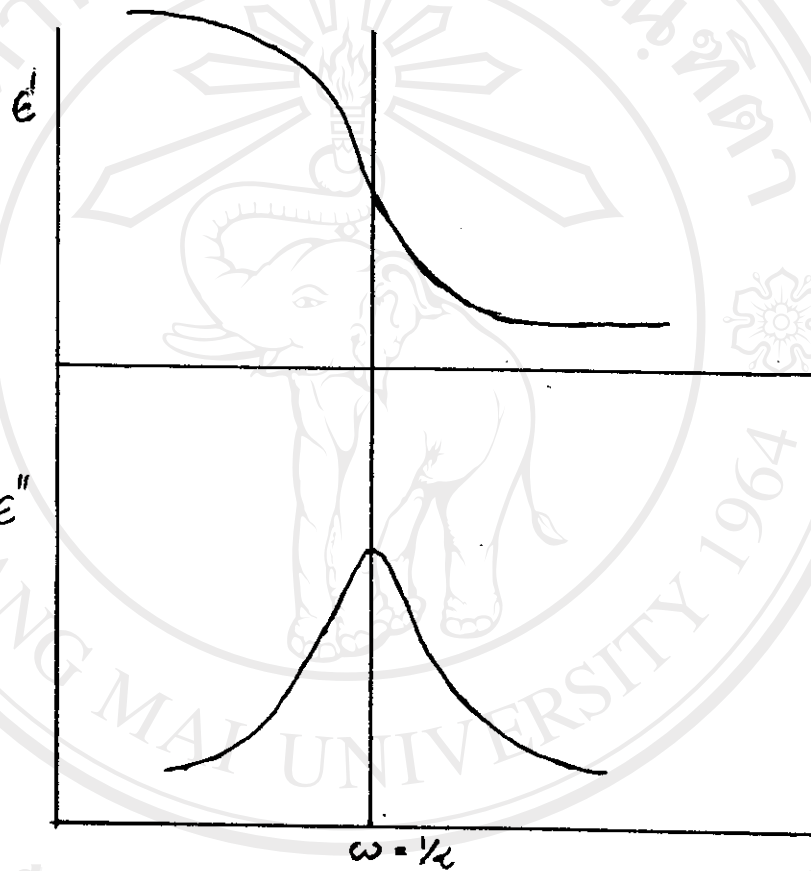
$$E' = E_{\infty} + [(E_{\infty} - E_{\infty}) / (1 + \omega^2 \tau^2)] \quad (2.36)$$

$$E'' = \omega\tau / (1 + \omega^2 \tau^2) (E_{\infty} - E_{\infty}) \quad (2.37)$$

ดังนั้นสามารถเขียน  $E(\omega)$  ในรูปทั่วไปเป็น

$$E(\omega) = E' - jE'' \quad (2.38)$$

เมื่อนำสารไดอิเล็กตริกใส่ไปในตัวเก็บประจุ  $\epsilon'$  จะมีผลต่อค่าความจุ ส่วน  $\epsilon''$  จะมีผลต่อ joule heat loss ในตัวเก็บประจุ รูปแบบของการเปลี่ยนแปลงความถี่ของ  $\epsilon'$  และ  $\epsilon''$  เป็นดังรูปที่ 2.8



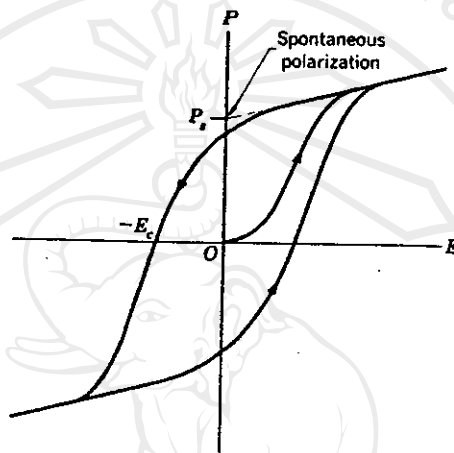
รูปที่ 2.8 แสดงการเปลี่ยนแปลงของ  $\epsilon'$  และ  $\epsilon''$  ตามความถี่

## 2.6 ผลึกเฟอร์โรอิเล็กตริก<sup>(11)</sup> (Ferroelectric Crystals)

ผลึกเฟอร์โรอิเล็กตริก จะแสดงสมบัติของไดโพล โมเมนต์ ถึงแม้ว่าจะนำเอาสนามไฟฟ้าภายนอกออกไปแล้วก็ตาม กล่าวได้ว่า มีไดโพล โมเมนต์ ถาวรอยู่ภายในผลึก

จากกรณีที่เอาสารไดอิเล็กตริก วางในสนามไฟฟ้า จะเกิด โพลาริเซชันขึ้นภายในสารนั้น และเมื่อลดสนามไฟฟ้าที่ให้เข้าไปในสารไดอิเล็กตริก จนเป็นศูนย์โพลาริเซชันภายในสารก็จะเป็นศูนย์ทันที แต่มีสารบางอย่างเมื่อให้สนามไฟฟ้าภายนอกเข้าไปทำให้เกิดโพลาริเซชันขึ้น และเมื่อลดสนามไฟฟ้าภายนอกจนเป็นศูนย์โพลาริเซชัน ไม่เป็นศูนย์เหมือนในสาร

ไดอิเล็กตริก ตามรูปที่ 2.9



รูปที่ 2.9 แสดง Hysteresis loop ของผลึกเฟอร์โรอิเล็กตริก

Hysteresis loop เป็นตัวแสดงสภาวะเฟอร์โรอิเล็กตริก (Ferroelectric state) ส่วนผลึกทั่วไปที่เป็นไดอิเล็กตริก จะไม่แสดงลักษณะของ Hysteresis loop นี้ แสดงว่าในสภาวะ เฟอร์โรอิเล็กตริก จะมีไดโพล โมเมนต์ ถาวรอยู่แล้ว ดังนั้นสามารถทำให้สารบางชนิดแสดงสภาวะเฟอร์โรอิเล็กตริก ได้โดยไม่ต้องใช้สนามไฟฟ้าภายนอกเลย แต่ใช้การลดอุณหภูมิแทน โดยปกติสภาวะเฟอร์โรอิเล็กตริก จะไม่ปรากฏที่อุณหภูมิสูงกว่า อุณหภูมิแน่นอนค่าหนึ่งเรียกว่า อุณหภูมิวิกฤต ( $T_c$ ) หรืออุณหภูมิกูรี (Curie Temperature)

ที่อุณหภูมิสูงกว่าอุณหภูมิวิกฤต ผลึกจะอยู่ในสภาวะ Paraelectric และที่  $T_c$  ผลึกจะมีการเปลี่ยนเฟส (Phase transition) (2.10) เกิดขึ้น ดังแสดงตามรูปที่ 2.10

สารเฟอร์โรอิเล็กตริก บางชนิดไม่มี  $T_c$  เนื่องจาก  $T_c$  สูงมาก ดังนั้นเมื่อเพิ่มอุณหภูมิให้สูงขึ้นไปเรื่อย ๆ อาจจะหลอมเหลวเสียก่อนที่จะถึง  $T_c$  ก็ได้

ผลึกเฟอร์โรอิเล็กตริก แบ่งได้หลายกลุ่ม เช่น กลุ่ม Perovskites ตัวอย่างของสารในกลุ่มนี้ได้แก่  $BaTiO_3$ ,  $SrTiO_3$ ,  $LiTaO_3$ ,  $KNbO_3$ ,  $WO_3$  และ  $PbTiO_3$  สารใน

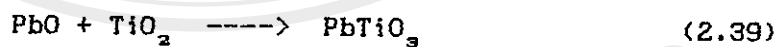


รูปที่ 2.10 แสดงการเปลี่ยนเฟส (Phase transition) ที่อุณหภูมิคูรี ( $T_c$ )

กลุ่มนี้ที่อุณหภูมิห้องเป็นผลึกเฟอร์โรอิเล็กทริกแล้ว และมีโครงสร้างผลึกเป็นแบบง่าย เช่น  $BaTiO_3$  มีโครงสร้างผลึกเป็นสี่เหลี่ยมลูกบาศก์

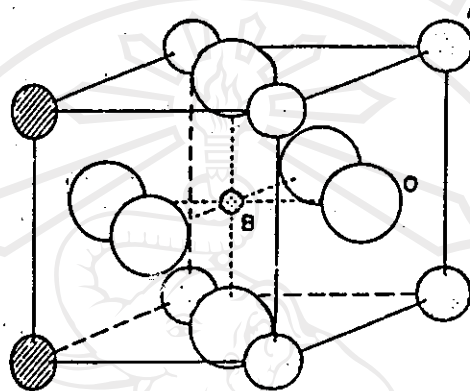
## 2.7 เลดทิตาเนต (Lead Titanate)

เลดทิตาเนต ( $PbTiO_3$ ) จัดเป็นสาร new ceramics ชนิดหนึ่ง<sup>(3)</sup> มีส่วนประกอบของตะกั่วออกไซด์ ( $PbO$ ) กับทิตาเนียมออกไซด์ ( $TiO_2$ ) ทำปฏิกิริยากันดังสมการ



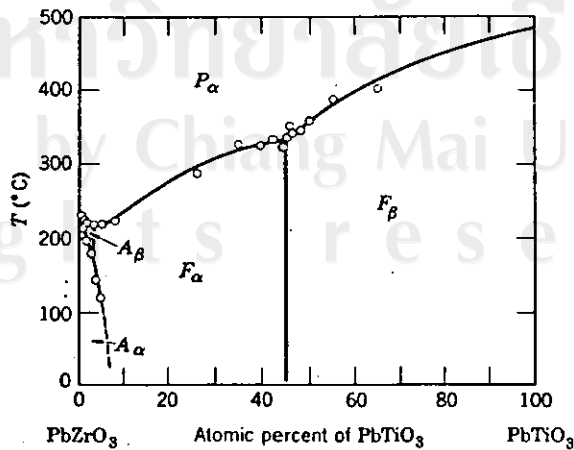
ผลึกเชิงเดี่ยวของ  $PbTiO_3$  เป็นแบบ Tetragonal<sup>(๓)</sup> เป็นผลึกประเภทเฟอร์โรอิเล็กทริก กลุ่ม Perovskites<sup>(๓)</sup>





รูปที่ 2.11 แสดง Cubic  $ABO_3$  perovskite structure<sup>(๑๖)</sup>

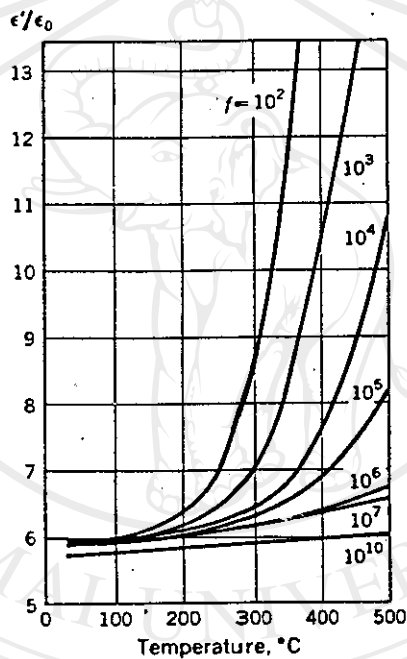
$PbTiO_3$  มีอุณหภูมิคูรี (Curie temperature)  $492 \pm 5 \text{ }^\circ\text{C}$ <sup>(14)</sup> เนื่องจาก  
 เลดตีทาเนตมีอุณหภูมิคูรีสูง จึงนิยมที่จะนำไปผสมเข้ากับสารที่เหมาะสมกันที่มีอุณหภูมิคูรีต่ำ ๆ  
 เมื่อเล็่ออุณหภูมิให้สูงขึ้น ดังแสดงตามรูปที่ 2.12



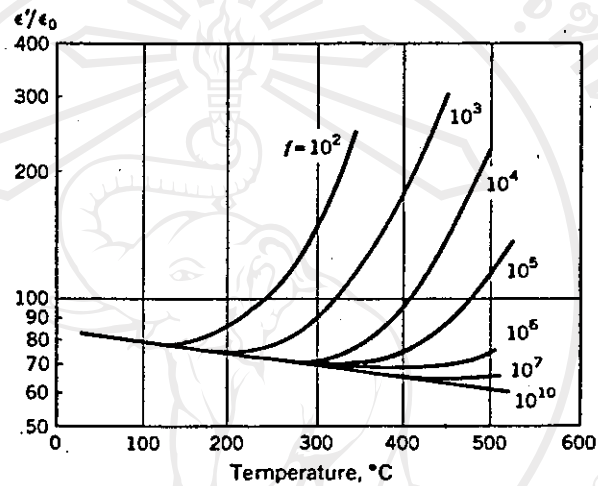
รูปที่ 2.12 แสดงอุณหภูมิคูรีที่เลื่อนไปตามเปอร์เซ็นต์การผสมของ  $PbTiO_3$ <sup>(11)</sup>

2.8 ความสัมพันธ์ระหว่างค่าคงที่ไดอิเล็กตริกกับอุณหภูมิและความถี่ของ Steatic ceramic และ Titania ceramic

สามารถแสดงความสัมพันธ์ของค่าดังกล่าวข้างต้นด้วยรูปที่ 2.13 - 2.14



รูปที่ 2.13 แสดง Dielectric constant  $\epsilon'/\epsilon_0$  of steatic ceramic<sup>(15)</sup>



รูปที่ 2.14 แสดง Dielectric constant of titania ceramic

ลิขสิทธิ์มหาวิทยาลัยเชียงใหม่  
 Copyright© by Chiang Mai University  
 All rights reserved